

УДК 517.535.2

С. Д. БРОНЗА, В. Г. ТАИРОВА

### ПРОФИЛИ РИМАНОВЫХ ПОВЕРХНОСТЕЙ

Рассматриваем способ изображения римановых поверхностей, позволяющий описывать не только римановы поверхности класса  $F_q$  (с помощью комплексов отрезков [1, с. 456]), но и римановы поверхности более широкого класса, например, замкнутые римановы поверхности положительного рода.

Рассмотрим класс римановых поверхностей, имеющих такую же структуру, как и римановы поверхности из описанного в [1, гл. VII, § 4] класса  $F_q$ , но без требования односвязности. Этот класс римановых поверхностей обозначим  $F_q^*$ . Пусть  $R \in F_q^*$  и  $D = \{a_i\}_{i=1}^q$  — множество базисных точек римановой поверхности  $R$ . Без ограничения общности можно считать, что  $D$  состоит из конечных точек. Каждую точку  $a_i \in D$  снабдим  $\varepsilon_i$ -окрестностью,

при этом будем полагать, что замыкания этих окрестностей не пересекаются. На границе каждой  $\varepsilon_i$ -окрестности выберем по точке  $b_i$  и через точки множества  $\Delta = \{b_i\}_{i=1}^q$  проведем замкнутую жорданову кривую  $\Lambda$  так, чтобы  $\varepsilon_i$ -окрестности базисных точек лежали во внешности кривой  $\Lambda$ . Не уменьшая общности, можно считать, что точки множества  $\Delta$  располагаются на  $\Lambda$ , при обходе ее в положительном направлении, в порядке возрастания индексов,  $b_{q+1} = b_q$ . Часть кривой, расположенную между точками  $b_i$  и  $b_{i+1}$ , будем обозначать  $\Lambda_i$ , внешность кривой  $\Lambda - Z^*$ , а внутренность —  $Z^0$  (см. рис. 1).

Рассмотрим кривую  $K = \Lambda \cup \left( \bigcup_{i=1}^q \partial \varepsilon_i \right)$ , где  $\partial \varepsilon_i$  — положительно

ориентированная граница  $\varepsilon_i$ -окрестности точки  $a^i$ . Прообраз  $G$  кривой  $K$  на римановой поверхности  $R$ , относительно операции  $\pi$  проектирования ее на  $\bar{C}$ , можно рассматривать как граф, множеством вершин которого является прообраз множества точек  $\Delta$ , множеством ребер — прообраз множества  $\{\Lambda_i\}_{i=1}^q$ . Прообразы границ  $\varepsilon_i$ -окрестностей составляют множество дуг (ориентированных ребер) графа  $G^1$ . Легко видеть, что граф  $G$ , кроме вершин, не имеет других точек самопересечения, каждой вершине графа инцидентны две дуги<sup>2</sup> и два ребра, т. е. граф  $G$  — частично ориентированный, связный, топологический, однородный степени 4.

Элементарный цикл графа  $G$ , являющийся краем грани, образом которой есть  $Z^0$ , назовем  $\alpha$ -циклом. Очевидно, два различных  $\alpha$ -цикла не имеют общих вершин. Множество  $\alpha$ -циклов графа  $G$  равномощно множеству внутренних (или внешних) полулистов римановой поверхности  $R$ , которой соответствует граф. Перенумеруем  $\alpha$ -циклы и их упорядоченную совокупность обозначим через  $\{\alpha_j\}_{j \in J}$ , где  $J$  — конечное или счетное множество индексов. Точке ветвления (алгебраической или логарифмической) порядка  $\lambda$  ( $\lambda \leq \infty$ ), расположенной над базисной точкой  $a_i$ , соответствует или элементарный контур графа  $G$  длины  $\lambda + 1$ <sup>3</sup> (когда  $\lambda < \infty$ ), или бесконечный элементарный путь (когда  $\lambda = \infty$ ), вершинами которых являются прообразы точки  $b_i$  на римановой

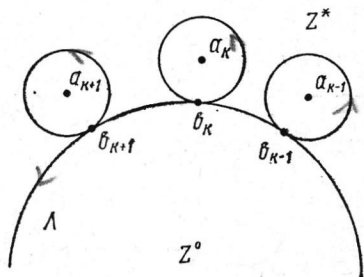


Рис. 1.

<sup>1</sup> Здесь и в дальнейшем используем терминологию теории графов, принятую, например, в [2].

<sup>2</sup> Петля графа  $G$  рассматривается как две дуги — входящая и исходящая.

<sup>3</sup> Длина пути понимается в смысле теории графов, см. [2, с. 13]. Петлю рассматриваем как контур длины [1].

поверхности  $R$ . Такие контуры и пути назовем  $\mu$ -контурами и  $\mu$ -путями.

Совокупность  $\mu$ -контуров и  $\mu$ -путей графа  $G$ , соответствующих всем точкам римановой поверхности  $R$ , лежащим над базисной точкой  $a_i$ , обозначим через  $\{\mu\}_{a_i}$ .

Придадим графу  $G$  другой вид. Отметим, что каждая вершина графа  $G$  одновременно принадлежит одному и только одному  $\alpha$ -циклу и одной и только одной совокупности  $\{\mu\}_{a_i}$ . Поэтому



Рис. 2.

каждой вершине графа  $G$  можно сопоставить упорядоченную пару чисел  $(i, j)$ , где  $i$  указывает на принадлежность вершины множеству  $\{\mu\}_{a_i}$ , а  $j$  — на ее принадлежность  $\alpha_j$ -циклу. Далее, множеству  $\alpha$ -циклов  $\{\alpha_j\}_{j \in J}$  поставим в соответствие множество  $P$  прямых, параллельных прямой  $p$ ; множеству  $\{b_i\}_{i=1}^q$  — множество  $\{p_i\}_{i=1}^q$  точек прямой  $p$ , расположив его на  $p$  в порядке возрастания индексов. Паре  $(i, j)$  поставим в соответствие точку прямой из множества  $P$ , соответствующей  $\alpha_j$ -циклу, ортогонально проектирующуюся в точку  $p_i$ . Для этой точки сохраним обозначение  $(i, j)$ . Полученное множество точек рассмотрим как совокупность вершин графа  $\Pi$ ; смежность вершин графа  $\Pi$  определяется смежностью соответствующих им вершин графа  $G$ . Очевидно, что в графе  $\Pi$  вершины вида  $(i, j)$   $(i+1, j)$  связаны ребрами, и для любой вершины  $(i, j)$  найдется вершина графа  $\Pi(i, k)$  такая, что обе эти вершины инцидентны одной дуге графа  $\Pi$ , если  $j=k$ , мы имеем петлю графа  $\Pi$ . Граф  $\Pi$  назовем профилем римановой поверхности  $R$  (в дальнейшем точки  $p_i$  обозначим через  $a_i$ ). На рис. 2 приведены примеры профилей римановой поверхности рода 1 с четырьмя базисными точками и римановой поверхности  $\text{Arcs} \sin \omega$ .

Пусть  $\Pi'$  — связанный, однородный степени 4, частично ориентированный граф, каждая вершина которого инцидентна двум дугам и двум ребрам (петля рассматривается как две дуги). И пусть граф  $\Pi'$  имеет изображение, при котором его вершины расположены на конечном или счетном множестве  $P$  прямых, параллельных фиксированной прямой  $p$ , а множество ортогональных проекций вершин графа  $\Pi'$  на прямую  $p$  конечно, при этом, если точка  $p' \in p$  — ортогональная проекция одной из вершин графа  $\Pi'$ , то все точки множества прямых  $P$ , имеющих проекцию  $p'$ , являются вершинами графа  $\Pi'$ . (Прямые из  $P$  отметим целочисленными индексами из некоторого множества  $J$ ,

а проекции вершин на  $p$  снабдим индексами от 1 до  $q$  в порядке обхода  $p$ ). Ребрами графа  $\Pi'$  служат отрезки прямых множества  $P$ , на которые они разбиваются вершинами графа  $\Pi'^1$ , а вершины, инцидентные одной дуге графа  $\Pi'$ , имеют одну и ту же проекцию на прямую  $p$ . Граф  $\Pi'$ , обладающий перечисленными выше свойствами, назовем графом типа профиля. Очевидно, что профиль римановой поверхности является графом типа профиля, но не всякий граф типа профиля, есть профиль некоторой римановой поверхности.

Выясним необходимые и достаточные условия, при которых граф типа профиля является профилем некоторой римановой поверхности класса  $F_q^*$ . Через  $(i, j)$  обозначим вершину  $\Pi'$ , лежащую на прямой из  $P$  с индексом  $j$  и проектирующуюся в точку на  $p$  с индексом  $i$ , а через  $\Gamma$  — множество определенных ниже путей  $\Pi'$ .

**Определение 1.** Частично ориентированный цикл графа  $\Pi'$  назовем путем, если его ребра и дуги чередуются, все дуги имеют одинаковую ориентацию, при удалении петель цикл становится элементарным<sup>2</sup>.

Вершины каждого пути  $\gamma \in \Gamma$  располагаются на нем в последовательности  $(1, i_0), (1, i_1), (2, i_1), (2, i_2), \dots, (k, i_{k-1}), (k, i_k), \dots, (q-1, i_{q-1}), (q, i_q)$  ( $i_k \in J, i_0 = i_q$ ), и при обходе цикла первые индексы проходимых вершин не убывают.

**Определение 2.** Будем говорить, что совокупность путей образует точное покрытие графа  $\Pi'$ , если 1) любая дуга (ребро) графа  $\Pi'$  принадлежит некоторому пути; 2) два различных пути не имеют общих дуг (ребер).

**Теорема.** Для того чтобы граф  $\Pi'$  типа профиля был профилем некоторой римановой поверхности класса  $F_q^*$ , необходимо и достаточно, чтобы существовало точное покрытие графа  $\Pi'$ .

Множество путей точного покрытия имеет ту же мощность, что и множество  $P$ . Поэтому в случае замкнутых  $n$ -листных римановых поверхностей с  $q$  базисными точками число путей точного покрытия у соответствующих им профилей равно  $n$ , а длина каждого пути равна  $2q$ . На рис. 3 изображены пути точного покрытия римановой поверхности.

**Необходимость.** Пусть  $\Pi$ -профиль римановой поверхности  $R$ . Граница любой компоненты прообраза множества

$$B = \bar{C} \setminus \left[ Z^0 \cup \left( \bigcup_{i=1}^q \varepsilon_i \right) \cup K \right]$$

при отображении  $\pi: R \rightarrow C$ , очевидно, удовлетворяет определению пути. Совокупность так определенных путей образует точное

<sup>1</sup> За одно ребро засчитываем на каждой прямой из  $P$  отрезок, содержащий бесконечно удаленную точку.

<sup>2</sup> Петлю, входящую в путь, рассматриваем как одну дугу.

покрытие профиля  $\Pi$ , так как границы двух различных компонент преобразов не имеют общих ребер (дуг), и множество ребер (дуг) профиля  $\Pi$  совпадает с множеством ребер (дуг) границы преобразов  $B$ , т. е. любое ребро (дуга) принадлежит одному пути.

*Достаточность.* Пусть граф  $\Pi'$  обладает точным покрытием. Достаточность условий теоремы докажем, если мы графу  $\Pi'$  поставим в биективное соответствие риманову поверхность  $R \in F_q^*$  и покажем, что, с другой стороны, граф  $\Pi'$  является профилем этой римановой поверхности. Совокупность ребер графа  $\Pi'$ , инцидентных вершинам, принадлежащим одной прямой множества

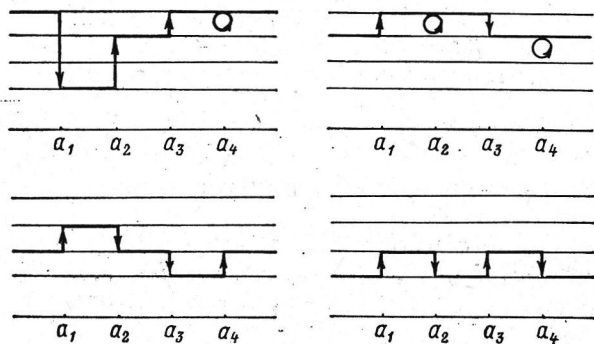


Рис. 3.

$P$ , образует цикл графа  $\Pi'$ . Предположим, что множество таких циклов графа  $\Pi'$  представлено упорядоченной совокупностью  $\{\beta_j\}_{j \in J}$ . Возьмем на  $z$ -плоскости замкнутую жорданову кривую  $L$  и последовательностью  $q$  точек в направлении положительного обхода разобьем ее на части  $L_i$  ( $i = 1, \dots, q$ ). Внутренность кривой  $L$  обозначим через  $Z_0$  и назовем внутренним полулистом; внешность кривой  $L - Z_*$  и назовем внешним полулистом. Каждому циклу  $\beta_j$ ,  $j \in J$ , графа  $\Pi'$  поставим в биективное соответствие один экземпляр внутреннего полулиста  $Z_0$ , а каждому пути  $\gamma$  из точного покрытия  $\Gamma$  графа  $\Pi'$  — один экземпляр внешнего полулиста  $Z_*$ . Пусть  $\beta_{i_0}$  — некоторый цикл графа  $\Pi'$ , а  $l$  — ребро этого цикла, инцидентное вершинам  $(i, j_0)$ ,  $(i + 1, j_0)$ . Существует один и только один путь  $\gamma_0 \in \Gamma$ , имеющий с циклом  $\beta_{i_0}$  общее ребро  $l$ . Внутренний полулист  $Z_0$ , соответствующий циклу  $\beta_{i_0}$ , и внешний полулист  $Z_*$ , соответствующий пути  $\gamma_0$ , склеим по кривой  $L_i$ . Такое склеивание проведем относительно всех ребер всех циклов  $\beta_j$ ,  $j \in J$ , графа  $\Pi'$ . Предположим, что вершина  $(i, j_0)$ , инцидентная ребру  $l$ , принадлежит контуру графа  $\Pi'$  длины  $\lambda + 1$  ( $\lambda > 0$ ). Вершины такого контура инцидентны  $2(\lambda + 1)$  ребрам, принадлежащим  $\lambda + 1$  различному пути точного покрытия  $\Gamma$  и  $\lambda + 1$  различному циклу графа  $\Pi'$ . Склеивая  $\lambda + 1$  внут-

ренных полулистов, соответствующих этим путям с  $\lambda + 1$  внешними полулистами, соответствующими этим циклам графа  $\Pi'$ , по кривым  $L_i$  и  $L_{i+1}$ , получаем точку ветвления порядка  $\lambda$  (в случае, когда  $\lambda = \infty$ , получаем логарифмическую точку ветвления). Если же вершина  $(i, j_0)$  принадлежит петле, то инцидентные этой вершине два ребра принадлежат одному и тому же пути  $\gamma_0$  точного покрытия графа  $\Pi'$  и одному и тому же циклу  $\beta_{i_0}$  графа  $\Pi'$ .

В этом случае по кривым  $L_i$  и  $L_{i+1}$  склеиваются один и тот же внешний полулист с одним и тем же внутренним полулистом, в результате чего точек ветвления не возникает. Очевидно, каждое ребро внутреннего полулиста склеивается с определенным ребром некоторого внешнего полулиста, и наоборот.

Произведя указанное выше склеивание, получаем некоторую риманову поверхность  $R$ , принадлежащую классу  $F_a^*$ .

Построим теперь профиль полученной римановой поверхности. В качестве базисной кривой возьмем кривую  $L$ , кривую  $\Lambda$  построим так, как показано на рис. 1,  $Z^0$  — внутренность кривой  $\Lambda$ ,  $Z_0$  — внутренность кривой  $L$ . Не уменьшая общности, можно считать, что  $Z_0^0 Z_0$ . Тогда грани графа  $G$ , образы которых при проектировании  $\pi$  суть  $Z^0$ , принадлежат внутренним полулистам римановой поверхности  $R$ . Поскольку краями этих граней являются  $\alpha$ -циклы графа  $G$  и на каждом внутреннем полулисте располагается по одному  $\alpha$ -циклу, а сами внутренние полулисты однозначно определяются  $\beta$ -циклами графа  $\Pi'$ , то перенумеровав  $\alpha$ -циклы графа  $G$  в соответствии с нумерацией  $\beta$ -циклов, получим профиль  $\Pi$  римановой поверхности, совпадающей с графом  $\Pi'$ . Теорема доказана.

Список литературы: 1. Гольдберг А. А., Островский И. В. Распределение значений мероморфных функций. М., Наука, 1970. 456 с. 2. Берж К. Теория графов и ее применения. М., Изд-во иностр. лит. 1962, с. 5—40.

Поступила 25 июня 1977 г.